

УДК 621.941

**Н. Е. Стахнив**, канд. техн. наук, **Л. Н. Девин**, **А. А. Бочечка**, доктора технических наук,  
**С. Н. Назарчук**, канд. техн. наук

*Институт сверхтвердых материалов им. В.Н. Бакуля НАН Украины, г. Киев*

## **ПРИМЕНЕНИЕ НАНОКОМПОЗИТА АЛМАЗ – КАРБИД ВОЛЬФРАМА ПРИ ЧИСТОВОМ ТОЧЕНИИ ЛАТУНИ**

*Приведены результаты исследования процесса чистового точения латуни инструментом, оснащенным круглой режущей вставкой из нанокомпозита алмаз – карбид вольфрама. Установлено влияние технологических режимов обработки на составляющие силы резания, величину вибраций, шероховатость и волнистость обработанной поверхности. Приведены практические рекомендации по выбору режимов обработки.*

**Ключевые слова:** чистовое точение, латунь, режимы обработки, нанокомпозит алмаз – карбид вольфрама, нанопорошки, спекание при высоком давлении.

Перспективным способом улучшения спекания алмазных порошков является введение в них добавок, которые при спекании образуют химические соединения с углеродом и таким образом связывают алмазные частицы. В ИСМ им. В. Н. Бакуля НАН Украины впервые была установлена принципиальная возможность реакционного спекания в условиях высоких давления и температуры нанопорошков алмаза и вольфрама [1]. В результате их взаимодействия при спекании в порах между алмазными наночастицами образуются наночастицы карбида вольфрама, химически связанные с алмазными, что усиливает взаимосвязь зерен полученного композита.

Следует отметить, что введение нанопорошка вольфрама по способу [1] в смесь с более крупным алмазным порошком способствует улучшению физико-механических характеристик образцов спеченного композита по сравнению с образцами, полученными с применением механического смешивания, причем образцам, имеющим максимальную твердость, присуща и максимальная трещиностойкость [2]. Значения этих величин для композитов на основе алмазного нанопорошка УДА и статического синтеза ACM5 0,1/0 при оптимальном соотношении компонентов и параметров спекания полностью совпадают: соответственно  $HV_5 = 25$  ГПа;  $K_{IC} = 6,6 \text{ МПа}\cdot\text{м}^{1/2}$ . Такое сочетание важных механических характеристик достигается за счет формирования структуры композита, для которой характерно равномерное распределение частиц образованного карбида вольфрама в промежутках между алмазными частицами. Образцы указанных композитов также термостабильны:  $K_{TC} = 0,86$  при температуре  $1100^{\circ}\text{C}$  [3].

Работоспособность резцов из нанокомпозита алмаз – карбид вольфрама изучали на автоматизированном стенде на базе токарного станка с ЧПУ мод. ТПК 125ВМ [4]. Экспериментальные исследования выполняли при чистовом точении образца (диаметром  $d = 60\text{--}65$  мм) из латуни. Резец с механическим креплением круглой режущей пластины диаметром  $7\pm0,025$  мм имел следующие геометрические параметры: передний угол  $\gamma = 0^{\circ}$ ; задний угол  $\alpha = 10^{\circ}$ . Выполнили несколько серий экспериментов с различной глубиной резания  $t = 0,1; 0,2$  и  $0,3$  мм. В каждой серии фиксировали один из режимов резания (например, подачу  $S$ ), а дискретно изменяли другой (скорость резания  $V$ ). При фиксированной скорости резания  $V$  дискретно изменяли подачу  $S$ . Подача составляла  $[0,07; 0,30]$  мм/об скорость резания –  $[0,5; 6,0]$  м/с. Составляющие силы резания  $P_x$ ,  $P_y$  и  $P_z$  измеряли динамометром УДМ100. В качестве датчика вибраций использовали акселерометр KD-35 фирмы MMF (Германия). Датчик закрепляли в нижней части резца максимально близко к зоне резания. Рабочий диапазон частот –  $10\text{--}10000$  Гц.

Сигналы от динамометра по трем каналам через усилитель и от акселерометра поступали на АЦП ADA-1406. Управление АЦП ADA-1406 осуществлялось программой Power Graph. Частота опроса АЦП составляла 50 кГц. Для исследования шероховатости обработанной поверхности применяли аналоговый прибор Surtronic-3 фирмы Renk Taylor Hobson (Великобритания), соединенный с ПК. В соответствии со специально написанной программой на основании записанных профилограмм обработанных поверхностей

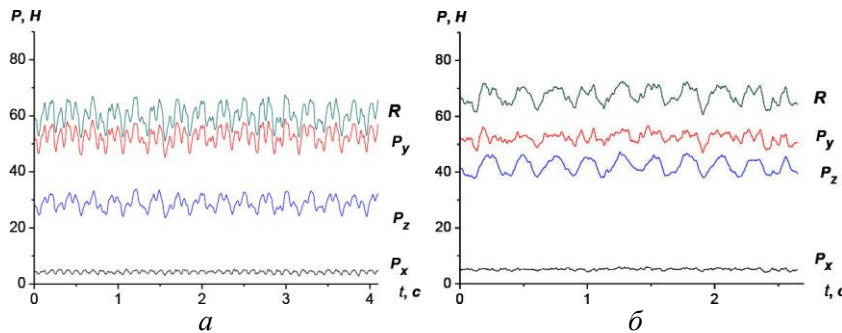


Рис. 1 Осциллограммы составляющих силы резания  $P_x$ ,  $P_y$ ,  $P_z$  и равнодействующей  $R$  при режимах обработки: а –  $V=2$  м/с;  $S = 0,15$  мм/об; б –  $V=2$  м/с  $S = 0,3$  мм/об

выделяли шероховатость и волнистость, а также рассчитывали их параметры. Обработка данных включала коррекцию данных (исключение погрешностей измерений), статистические расчеты, определение корреляционных функций, спектральной плотности, аппроксимацию тригонометрическими рядами Фурье. В частности, программно выполняли коррекцию дрейфа нуля при измерении составляющих силы резания [5].

На рис. 1 Осциллограммы составляющих силы резания показаны на рис. 1. Из их анализа следует, что составляющие  $P_x$ ,  $P_y$ ,  $P_z$  и равнодействующая силы резания  $R$  постоянно изменяются, причем составляющая  $P_x$ , существенно меньше составляющих  $P_y$ ,  $P_z$ .

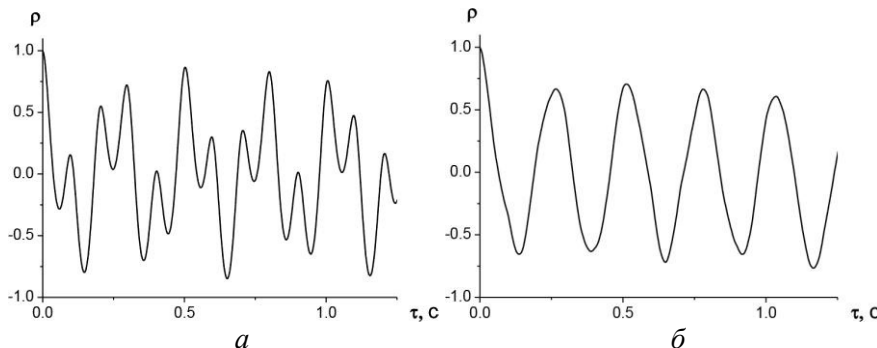


Рис. 2. Графики корреляционной функции  $\rho$  равнодействующей силы резания  $R$  при режимах обработки: а -  $V=2$  м/с;  $S = 0,15$  мм/об; б -  $V=2$  м/с  $S = 0,3$  мм/об

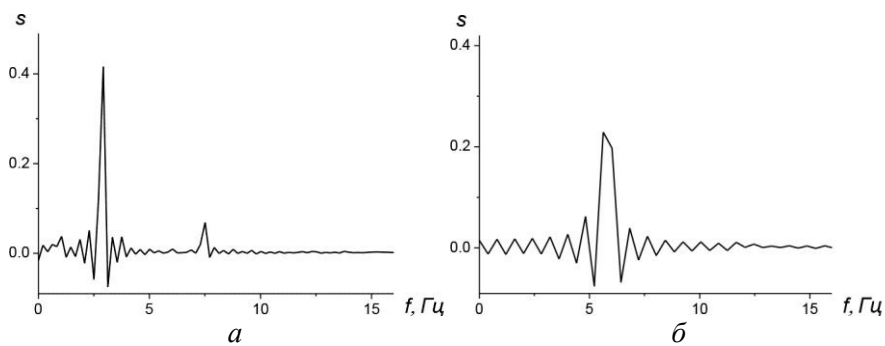


Рис. 3. Графики спектральной плотности равнодействующей силы резания  $R$ , при режимах обработки: а –  $V=2$  м/с;  $S = 0,15$  мм/об; б –  $V=2$  м/с  $S=0,3$  мм/об

эксперимента составляли 15–20%.

В результате корреляционного и спектрального анализов сигнала равнодействующей силы резания  $R$  построили корреляционную функцию  $\rho$  (рис. 2) и спектральную плотность  $s$  (рис. 3). Установлено, что для всех экспериментов характерно две разновидности графиков: рис. 2 и рис. 3.

Результаты корреляционного анализа также показали, что изменения равнодействующей силы резания с течением времени носят закономерный (регулярный) характер. Стохастические возмущения сил резания для каждого

Согласно спектральному анализу (рис. 3) определили доминирующие частоты, при которых амплитуды  $A_1$ ,  $A_2$  достигают максимума:  $f_1 = 0,38 f_{ш}$  и  $f_2 = f_{ш}$ , где  $f_{ш}$  – частота вращения шпинделя станка.

Для некоторых опытов в спектре изменения равнодействующей силы резания присутствовала также амплитуда  $A_3$ , значительно меньшая по сравнению с  $A_1$  и  $A_2$ , на частоте  $f_3 = 2f_{ш}$ .

Характерный график спектра ускорения колебаний показан на рис. 4, а. По оси абсцисс откладывали частоту

Рис. 4. Спектры амплитуд колебаний  $A$  при  $V=2,0 \text{ м/с}$   $S=0,3 \text{ мм/об}$  в частотном диапазоне: а – 0–10000 Гц; б – 0–350 Гц

вибраций, по оси ординат – ускорение. Учитывая существенное влияние на формирование микропрофиля обрабатываемой поверхности низкочастотных колебаний [6] эту область исследовали более детально. В результате установили, что пиков амплитуд в низкочастотной области в данном исследовании не обнаружено. Значительный пик амплитуды наблюдался только на частоте 270–280 Гц при скорости резания  $V=2,0 \text{ м/с}$  и подаче  $S=0,3 \text{ мм/об}$  (рис. 4, б). Однако вибрации при данной частоте существенного не влияли на микропрофиль обрабатываемой поверхности. Вибрации, возникающие при обработке, анализировали по среднеквадратическому отклонению амплитуды [7].

Характерный график спектра ускорений показан на рис. 4. Учитывая существенное влияние на формирование шероховатости обрабатываемой поверхности низкочастотных колебаний [6],

детально исследовали эту область (рис. 4, б). В результате установили, что в низкочастотной области амплитуда колебаний не превышала  $0,002 \text{ м/с}^2$ . Амплитуда ускорений повышалась до  $0,045 \text{ м/с}^2$  на частоте 270–280 Гц при подаче  $S=0,3 \text{ мм/об}$  (рис. 4, б).

Величина

перемещений,

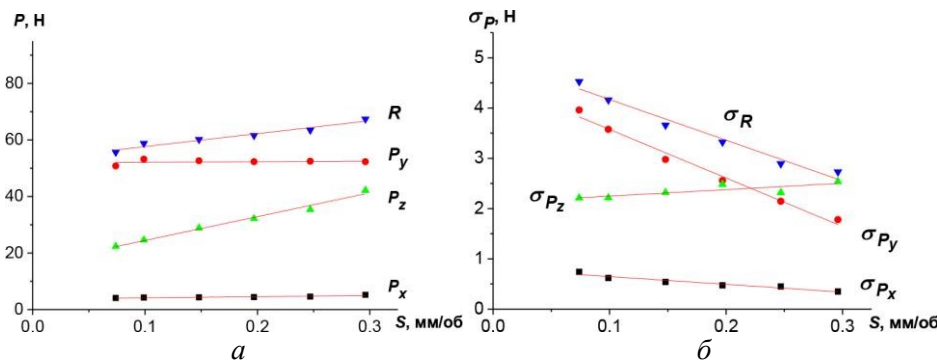


Рис. 5. Графики изменения средних значений (а), СКО (б) составляющих сил резания  $P_x$ ,  $P_y$ ,  $P_z$  и равнодействующей  $R$  от подачи  $S$

Соответствующие этой амплитуде ускорений перемещения не превышали  $0,002 \text{ мкм}$ . Следовательно, такие вибрации не влияли на шероховатость обрабатываемой поверхности. Для исследования влияния режимов резания на вибрации, возникающие при обработке, использовали среднеквадратическое отклонение амплитуды [7].

Графики изменения средних значений и среднеквадратических отклонений (СКО) составляющих и равнодействующей силы резания в зависимости от подачи показаны на рис. 5. Эксперименты проводили при скорости резания  $2 \text{ м/с}$ . На графиках видно, что при увеличении подачи сила резания повышается незначительно (рис. 5, а), составляющая  $P_y$ , превысила составляющую  $P_z$  (рис. 5, а), а динамический диапазон равнодействующей силы резания уменьшился в 2 раза (рис. 5, б). Следовательно, обработку целесообразно производить с высокой подачей.

Графики изменения средних значений и СКО составляющих и равнодействующей силы резания в зависимости от скорости резания показаны на рис. 6. Эксперименты проводили при подаче 0,1 мм/об. Как видим составляющая  $P_y$  на 25–30% превышает составляющую  $P_z$ . При повышении скорости резания 1 до 6 м/с средние значения и СКО составляющих и равнодействующей силы резания уменьшились соответственно на 10–12 и 14–18%.

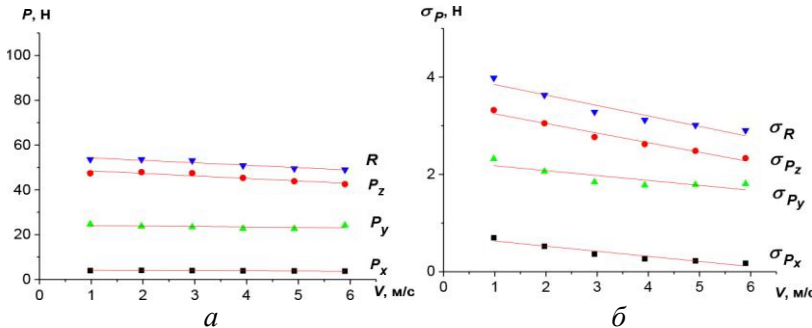


Рис. 6. Графики изменения средних значений (а), СКО (б) составляющих сил резания  $P_x$ ,  $P_y$ ,  $P_z$  и равнодействующей  $R$  от скорости резания  $V$

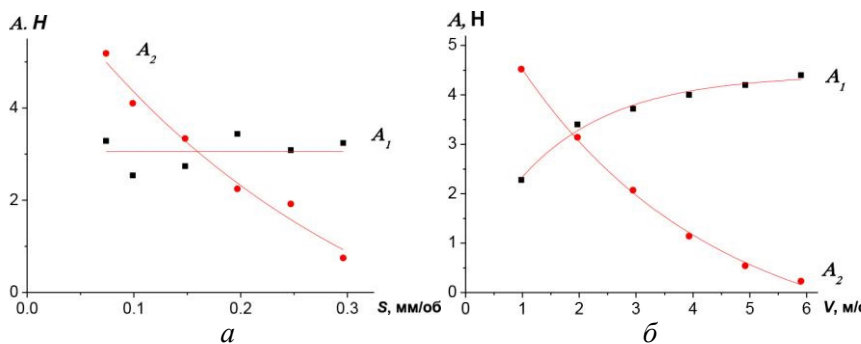


Рис. 7. Графики изменения амплитуд силы резания  $A_1$  и  $A_2$  соответствующих доминирующим частотам  $f_1$  и  $f_2$ : а – от подачи  $S$ ; б – от скорости резания  $V$

соответствующая частоте  $f_1$ , не изменяется.

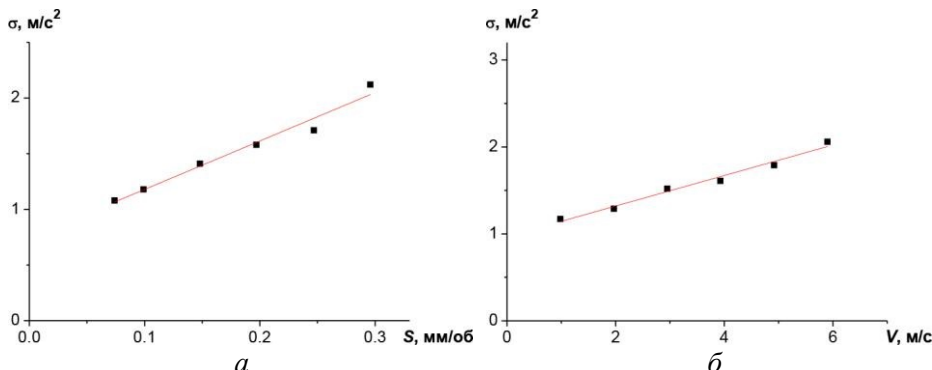


Рис. 8. Изменение СКО амплитуды колебаний: а – от подачи  $S$ ; б – от скорости резания  $V$

с 0,1 до 0,3 мм/об (рис. 8, а) и при увеличении скорости резания с 1,0 до 5,9 м/с (рис. 8, б) возрастают примерно в 2 раза.

При исследовании микрографии обработанной поверхности из профилограмм выделяли шероховатость и волнистость, а также рассчитывали параметры  $R_a$  и  $R_{aw}$ . Для шероховатости обработанной поверхности выполняли корреляционный (рис. 9, а) и спектральный (рис. 9, б) анализы.

В результате корреляционного и спектрального анализов установили, что равнодействующая сила резания изменяется регулярно

в соответствии с гармоническим законом. Графики изменения амплитуд  $A_1$  и  $A_2$ , соответствующих доминирующими частотам  $f_1$  и  $f_2$  показаны на рис. 7.

При увеличении подачи с 0,07 до 0,3 мм/об (рис. 7, а) амплитуда колебаний  $A_2$ , соответствующая частоте  $f_2$ , уменьшается более чем в 5 раз, а амплитуда колебаний  $A_1$ ,

При повышении скорости резания с 1,0 до 5,9 м/с (рис. 7, б) амплитуда колебаний  $A_2$  уменьшается и становится равной нулю при  $V=5,9$  м/с, амплитуда колебаний  $A_1$  возрастает в 2 раза.

Результаты исследования показывают, что СКО амплитуды колебаний при увеличении подачи

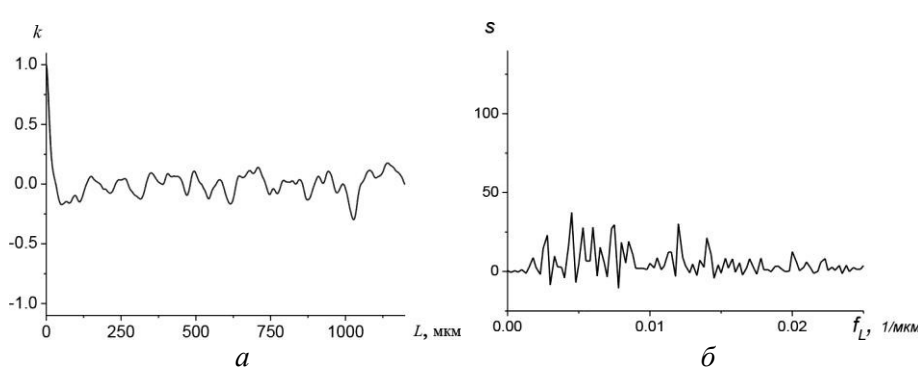


Рис. 9. Графики автокорреляционной функции (а) и спектральной плотности (б) шероховатости обрабатываемой поверхности при режиме обработки  $V = 1,0 \text{ м/с}$ ;  $S = 0,1 \text{ мм/об}$

пластические деформации, нивелирующие влияние регулярных движений формообразования.

Таким образом, (рис. 10, а) при увеличении подачи параметр шероховатости  $R_a$  постоянный и составляет 0,6 мкм. С повышением скорости резания (рис. 10, б) параметр шероховатости  $R_a$  снижается с 0,7 до 0,5 мкм.

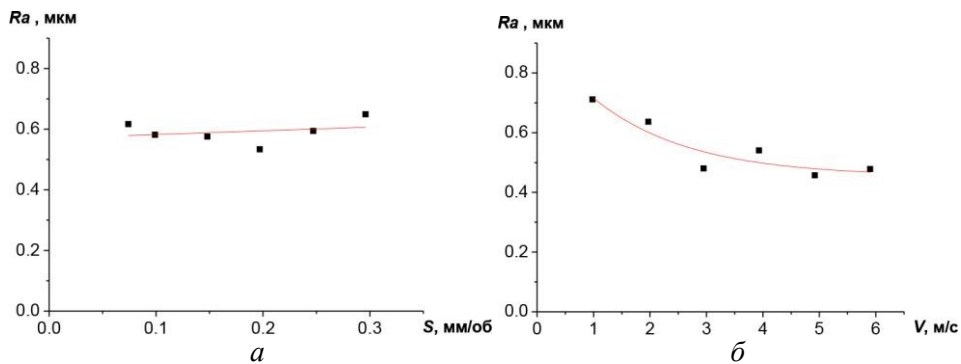


Рис. 10. Графики изменения параметра шероховатости  $R_a$ : а – от подачи  $S$ ; б – от скорости резания  $V$

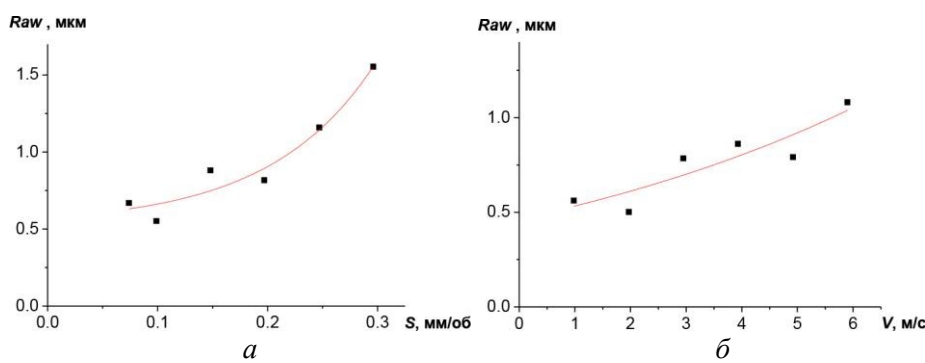


Рис. 11. Графики изменения параметра волнистости  $Raw$ : а – от подачи  $S$ ; б – от скорости резания  $V$

демпфирующих подложек из никелида титана [8,9] и без использования этих подложек. Результаты исследований показаны на рис. 12.

Как видим на графике 3, при скорости резания  $V > 2,0 \text{ м/с}$  параметра волнистости  $Raw$  резко повышается, что ограничивает режимы эффективного использования инструмента. Для уменьшения влияния колебаний в зоне резания на качество обрабатываемой поверхности использовали резец с демпфирующими подложками из никелида титана [8; 9]. При подаче  $S = 0,2 \text{ мм/об}$  исследовали влияние скорости резания на параметры шероховатости  $R_a$  и волнистости  $Raw$  (рис. 12). Сопоставляя

Результаты корреляционного и спектрального анализов показали, что в каждом эксперименте при обработке латуни на обрабатываемой поверхности формировалась нерегулярная шероховатость поверхности. Это указывает, что в зоне резания доминируют существенные

Как показали результаты исследования, параметр волнистости  $Raw$  при увеличении подачи (рис. 11, а) увеличивается с 0,6 до 1,5 мкм, при повышении скорости резания (рис. 11, б) – с 0,5 до 1,0 мкм.

Из графика на рис. 11, а следует, что при подаче  $S > 0,2 \text{ мм/об}$  параметр волнистости  $Raw$  повышается. В результате исследования установили, как скорость резания влияет на параметры шероховатости  $R_a$  и волнистости  $Raw$  с использованием

графики 3 и 4 на (рис. 12), видим, что при использовании резца с демпфирующими вставками из никелида титана в таких условиях резания шероховатость не уменьшается, однако при этом стабильно на 20–50% снижается волнистость.

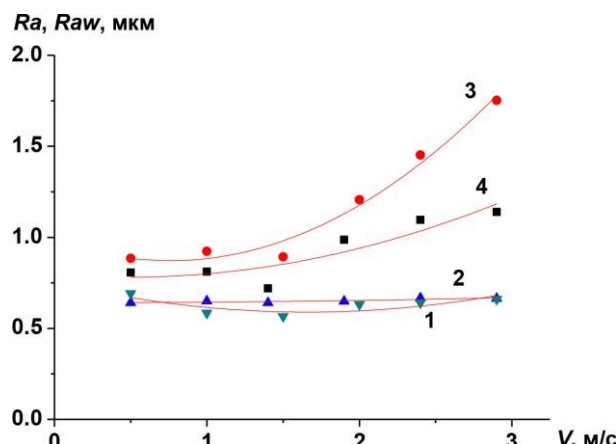


Рис. 12. Графики изменение параметров шероховатости  $R_a$  (1 и 2) и волнистости  $Raw$ (3 и 4) от скорости резания  $V$  с подачей  $S = 0,2$  мм/об без использования демпфирующих подложек (1 и 3) и с использованием (2 и 4)

обработанной поверхности.

При чистовом точении латуни резцами из нанокомпозитов алмаз – карбид вольфрама с глубиной резания 0,1 мм, подачей  $S > 0,15$  мм/об и скоростью резания  $V > 3,0$  м/с повышается волнистость. В этом случае для повышения качества обработки целесообразно применять резец с демпфирующими подложками из никелида титана.

*У статті наведено результати дослідження процесу чистового точіння латуні інструментом, оснащеним круглою ріжучою вставкою з нанокомпозиту алмаз - карбід вольфраму. Встановлено вплив технологічних режимів обробки на складові сили різання, величину вібрацій, шорсткість і хвильистість обробленої поверхні. Наведено практичні рекомендації щодо вибору режимів обробки.*

**Ключові слова:** чистове точіння, латунь, режими обробки, нанокомпозит алмаз - карбід вольфраму, нанопорошки, спікання при високому тиску.

*Research results of brass finish turning using a tool fitted with round cutting inserts made of diamond nanocomposite - tungsten carbide are given in the article. Influence of processing conditions on the processing of the components of the cutting force, the magnitude of vibration, undulation and roughness of the processed surface was installed. Practical advices on the choice of treatment regimens are given.*

**Keywords:** finish turning, brass, processing modes, the nanocomposite diamond - tungsten carbide, nanopowders, high pressure sintering.

### Література

1. Пат. На винахід № 93803 Україна, М.кл.6 МПК, B24D 3/02, B22F 3/14. Спосіб отримання алмазного композиційного матеріалу / М.В. Новіков, О.О. Бочечка, С.М. Назарчук, В.С. Гаврилова, Г.С. Олейник, Л.О. Романко, І.А. Свєшніков, С.Д. Заболотний. – Опубл. 10.03.11; Бюл. № 5.
2. Полікристаллический композиционный н. кос алмаз–карбид вольфрама / С. Н. Назарчук, А. А. Бочечка, В. С. Гаврилова и н.. // Сверхтвердые матер. – 2011. – № 1. – С. 3–17.
3. Алмазний полікристалічний композиційний матеріал алмаз – карбід вольфраму для бурового інструменту / О. О. Бочечка, І. А. Свєшніков, С. М. Назарчук та н.. // Інструмент. Світ. – К. : ППЦ «АЛКОН» НАН України. – 2011. – № 1–2. – С. 50–52.

### Выводы

Исследовано применение в качестве рабочего элемента режущего инструмента алмазного поликристаллического нанокомпозита «алмаз–карбид вольфрама» на основе алмазного нанопорошка статического синтеза, в котором сочетаются высокие твердость ( $HV_5=25$  ГПа), трещиностойкость ( $K_{Ic}=6,6$  МПа·м $^{1/2}$ ) и термостабильность (при 1100 оС  $KTC=0,86$ ). Это достигается за счет образования между алмазными частицами наночастиц карбида вольфрама, химически связанных с алмазными.

При чистовом точении латуни резцами из нанокомпозитов алмаз – карбид вольфрама с глубиной резания 0,1 мм подача должна составлять 0,1–0,15 мм/об, скорость резания – 2,0–6,0 м/с. В таких условиях обеспечиваются обрабатываемая поверхность с шероховатость  $Ra=0,6$  мкм и волнистость  $Raw=0,5–1,0$  мкм

4. Прогнозирование работоспособности металлорежущего инструмента / Л. Н. Девин. – К.: Наук. думка, 1992. – 131 с.
5. Стахнив Н. Е., Сулима А. Г. Закономерности изменения силы резания при врезании и выходе инструмента из заготовки при точении силуминов резцами с круглыми АТП // Сверхтвердые материалы. – 2010. – № 5. – С. 88–99.
6. Стахнив Н. Е. Девин Л. Н., Исследование влияния износа резца, оснащенного пластиной из композита на основе КНБ на его вибрации при чистовом точении // Сверхтвердые материалы. – 2012. – № 3. – С. 62–69.
7. Прогнозирование виброустойчивости инструмента при точении и фрезеровании / С. А. Васин. – М. : Машиностроение, 2006. – 384 с.
8. Повышение инструментальной стойкости резцов путем демпфирования режущих пластин из поликристаллов КНБ / Л. М. Девин, О. А. Осадчий, А. Г. Сулима // Новітні технології в машинобудуванні: металообробка, інструмент, реновация: зб. Наук. праць / редкол. С. С. Самотугін та ін.. – Маріуполь : ПДТУ, 2010. – Вип. 2. – С. 25–37.
9. Девин Л. Н., Осадчий А. А. Повышение эксплуатационных характеристик резцов из КНБ путем увеличения их демпфирующих свойств / Сверхтвердые материалы. – 2012. – № 5. – С. 62–71.

Поступила 09.06.15

УДК 621.762.922.02

**В. И. Лавриненко, д-р. техн. наук; Г. Д. Ильницкая, О. О. Пасечный, В. В. Смоквина,  
А. А. Девицкий, В. В. Шатохин, Л. А. Романко, кандидаты технических наук; И. Н. Зайцева,  
В. В. Тимошенко, В.И. Мельник<sup>1</sup>; Е. В. Ищенко, д-р. хим. наук, С. В. Гайдай, канд. хим. наук<sup>2</sup>**

<sup>1</sup>Институт сверхтвердых материалов им. В.Н. Бакуля НАН Украины, г. Киев Украина

<sup>2</sup>Киевский национальный университет им. Тараса Шевченко, г. Киев, Украина

## **ВЛИЯНИЕ ФИЗИКО-ХИМИЧЕСКИХ ХАРАКТЕРИСТИК КОМПОЗИЦИОННОГО ИНСТРУМЕНТАЛЬНОГО МАТЕРИАЛА НА ИЗНОСОСТОЙКОСТЬ ШЛИФОВАЛЬНОГО ИНСТРУМЕНТА**

Приведены результаты термодесорбционных исследований алмазов марки АС6 зернистостью 125/100 металлизированных покрытий Ni и композиционных покрытий на основе Ni-Al. Установлено, что создание на поверхности алмазов марки АС6 зернистостью 125/100 металлизированных покрытий Ni и композиционных покрытий на основе Ni-Al способствует увеличению их удельной площади поверхности, повышает стойкость к окислению и электропроводность, что приводит к снижению удельного расхода алмазов и повышению износстойкости шлифовального инструмента.

**Ключевые слова:** термодесорбционные исследования, удельный расход алмазов, электропроводность, износстойкость, шлифовальный инструмент

### **Введение**

В машиностроении широко применяют шлифовальный алмазный инструмент для обработки труднообрабатываемых инструментальных материалов. Одним из путей повышения износстойкости алмазно-абразивного инструмента и увеличения алмазоудержания является металлизация алмазов различными покрытиями [1–3]. В процессе алмазного шлифования могут возникать электрические явления, которые могут дать дополнительную информацию об износе алмазного круга, так как напрямую связаны с эксплуатационными показателями обработки [4; 5].

Развитие инструментального производства, необходимость в обработке новых труднообрабатываемых материалов, поиск путей энергосбережения диктуют необходимость получения композиционных покрытий с новыми свойствами, позволяющими внести в зону контакта